

ЦВЧОВ
А-329

СООБЩЕНИЯ
ОБЪЕДИНЕННОГО
ИНСТИТУТА
ЯДЕРНЫХ
ИССЛЕДОВАНИЙ

ДУБНА



24/Кн-74

1 - 8251

4943/2-74

Г.Т.Адылов, Ф.К.Алиев, А.С.Водопьянов, И.Иоан,
Т.С.Нигманов, Э.Н.Цыганов, С.Б.Нурушев,
Л.Ф.Соловьев, Э.Далли, Д.Дрики, Дж.Томпкинс,
П.Шепард

СИСТЕМА ПРОГРАММ ОБРАБОТКИ ДАННЫХ
ЭКСПЕРИМЕНТА
ПО $\pi^- p$ УПРУГОМУ РАССЕЯНИЮ
ПРИ ЭНЕРГИЯХ 40 И 50 ГЭВ

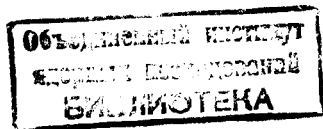
1974

ЛАБОРАТОРИЯ ВЫСОКИХ ЭНЕРГИЙ

1 - 8251

Г.Т.Адылов, Ф.К.Алиев, А.С.Водопьянов, И.Иоан,
Т.С.Нигманов, Э.Н.Цыганов, С.Б.Нурушев,¹
Л.Ф.Соловьев,¹ Э.Далли,² Д.Дрики,² Дж.Томпkins,²
П.Шепард²

СИСТЕМА ПРОГРАММ ОБРАБОТКИ ДАННЫХ
ЭКСПЕРИМЕНТА
ПО π^-_P УПРУГОМУ РАССЕЯНИЮ
ПРИ ЭНЕРГИЯХ 40 И 50 ГЭВ



¹ Институт физики высоких энергий, г. Серпухов.

² Калифорнийский университет, Лос-Анджелес.

I. Введение

Изучение упругого π^- - рассеяния на малые углы при энергиях налетающих π^- - мезонов 40 и 50 ГэВ проводилось с помощью магнитного искрового спектрометра, описанного в работе /1/. Схема экспериментальной установки представлена на рис. I.

Система, состоящая из порогового черенковского счётчика (С.С.), спартилляционных счётчиков (S, A, HALO) и проволочных пропорциональных камер (Р.С.), регистрировала поток π^- - мезонов, падающих на жидкокристаллическую мишень. Кроме того, она делала предварительный отбор событий, разрешая подачу высокого напряжения на магнито-стрикционные искровые камеры (S.C.) только при выполнении определенных критериев /1,2/. Координаты искр, возникающих в плоскостях камер вдоль траекторий частиц, и информация с других приборов с помощью регистрирующей электроники и ЭВМ HP2116B записывались на магнитные ленты.

Дальнейший анализ данных, накопленных на магнитных лентах, проводился с помощью программ, описанных ниже, на ЭВМ ICL1906 в ИФВЭ (г. Серпухов).

Восстановление траекторий частиц, отбрасывание заведомо ненужных событий и запись новых данных об отобранном событии на вторичную ленту осуществлялось программой "TRACKFINDING".

Для вычисления кинематических, геометрических и других параметров событий, записанных на эту ленту, использовалась программа "SUMX". События упругого рассеяния выделялись требованием, чтобы значения этих параметров находились в соответственно подобранных пределах.

Дифференциальное сечение π^- упругого рассеяния, полученное после вычитания фона от пустой мишени и введения

других необходимых поправок, использовалось для определения параметра наклона дифференциального сечения и отношения реальной части амплитуды рассеяния вперед к мнимой.

2. Восстановление траекторий частиц и предварительный отбор событий

Реконструкция траекторий частиц осуществлялась программой "TRACKFINDING", написанной на основе программы, использованной при обработке данных эксперимента по определению радиуса Π^- -мезона.^{/3/}

В общей координатной системе, ось Z которой была направлена вдоль пучка первичных Π^- -мезонов, каждая искровая камера регистрировала координаты искр одновременно в X и Y проекциях. Ось Y была направлена вниз, а ось X имела направление, приводящее к правой системе координат.

Все камеры, координаты искр которых записывались на магнитную ленту, располагались в трех блоках. В первом блоке (до мишени) находились 5 искровых и одна пара (X и Y плоскости) пропорциональных камер. Во втором и третьем блоках между мишенью и магнитом и после магнита содержалось соответственно 7 и 6 искровых камера. Одна камера в блоке I и по две в блоках II и III были повернуты на угол 45° относительно других камер.

Поиск и восстановление треков велись последовательно в X, затем Y плоскостях блока I, в X, затем Y плоскостях блока II и т.д. Если в какой-либо проекции блока не удавалось восстановить ни одного трека, программа прекращала дальнейший поиск треков и приступала к обработке следующего события. Нахождение треков и их параметров в каждой плоскости по координатам искр выполнялось

подпрограммами "FIND" и "LINE".^{/3/} Для увеличения скорости обработки данных поиск треков в блоке I проводился в пределах пространственного разброса частиц пучка, а в каждом последующем блоке - в области допустимых продолжений траекторий, восстановленных в предыдущем. Для определения трека достаточно было в заданных пределах найти искры хотя бы в 3-х, 4-х, 3-х камерах в блоках I, II, и III соответственно. Это существенно уменьшало потери треков из-за неэффективностей камер. Параметры найденных треков вычислялись методом наименьших квадратов по координатам соответствующих искр.

Наличие искры в повернутых камерах, координаты которой в прямой системе координат использовались для определения трека как в X плоскости, так и в Y плоскости, указывало на то, что эти треки являются проекциями одного и того же пространственного.

Все комбинации найденных треков, которые могли описывать траекторию частицы, прошедшей через спектрометр, сортировались по следующим признакам:

а) в блоках II и III требовалось пространственное соответствие между треками в X и Y проекциях, определенное хотя бы по одной повернутой камере;

б) $|x_2 - x_1| < 5 \cdot \bar{\Delta}x_M, |y_2 - y_1| < 5 \cdot \bar{\Delta}y_M, |y'_2 - y'_1| < 5 \cdot \bar{\Delta}y'_M$,
 x_1, y_1, x_2, y_2 - координаты треков в центре магнита,
 y'_1, y'_2 - наклон треков блоков II и III, $\bar{\Delta}x_M = 0,1\text{ см}$, $\bar{\Delta}y_M = 0,08\text{ см}$,
 $\bar{\Delta}y'_M = 0,15\text{ мрад}$ - среднеквадратичные значения этих разностей;

в) $(P_0 - 10) \text{ ГэВ/с} < P < (P_0 + 2) \text{ ГэВ/с}$, где P_0 - средний импульс частиц пучка, а P - импульс, вычисленный по углу отклонения треков в магните;

г) $r_{min} < 5 \cdot \bar{r}_{min}$, где r_{min} - минимальное пространственное расстояние между треками блоков I и II, а $\bar{r}_{min} = 0,04$ см.

При поиске треков вокруг траектории истинного трека могли быть найдены треки, восстановленные с использованием фоновых искр (так называемые генерированные треки). Поэтому каждой "траектории", составленной из треков по вышеупомянутым условиям, приписывалось число χ^2 , характеризующее эту "траекторию":

$$\chi^2 = \frac{1}{3} (\chi_{target}^2 + \chi_{magnet}^2 + \chi_{track}^2),$$

где

$$\chi_{target}^2 = (r_{min} / \bar{r}_{min})^2,$$

$$\chi_{magnet}^2 = \frac{1}{3} \left[\left(\frac{x_{II} - x_{I}}{\Delta x_m} \right)^2 + \left(\frac{y_{II} - y_{I}}{\Delta y_m} \right)^2 + \left(\frac{y'_{II} - y'_{I}}{\Delta y'_m} \right)^2 \right],$$

$$\chi_{track}^2 = \frac{1}{3} \left[\chi_{fit}^2 + \chi_{spark}^2 + \chi_{att}^2 \right].$$

Здесь в величину χ_{track}^2 входили феноменологическим образом выбранные числа, в которых χ_{fit}^2 учитывало нормализованные среднеквадратичные отклонения искр от определенных по ним треков, χ_{spark}^2 учитывало суммарное число соответствующих искр вдоль треков, а χ_{att}^2 - число повернутых камер, отметивших соответствие между треками в X и Y плоскостях.

Далее отбор велся в два этапа. На первом этапе в каждой серии "траекторий", отличающихся только треками блока I, отбиралась "траектория", имеющая минимальное число χ^2 , которая затем проверялась следующими условиями:

1) $\Theta > \Theta_{min}$, где Θ - пространственный угол между треками блоков I и II, а $\Theta_{min} = 0,8$ мрад;

$$2) |Z_{int} - Z_{target}| < (L_{H_2} + L_c)/2 + r_{min}/\Theta,$$

где Z_{int} - координата, в которой пространственное расстояние

между треками блоков I и II минимально, Z_{target} - координата центра мишени, $L_{H_2} = 50$ см - длина области мишени, наполненной жидким водородом, а $L_c = 200$ см - общая длина области (между водородом и внешними окнами мишени), в которой поддерживался вакуум.

Если после первого этапа оставалось несколько траекторий, то среди них опять выбиралась траектория с минимальным χ^2 . Параметры треков, составляющих выбранную траекторию, вместе с остальной необходимой информацией о событии записывались на вторичную ленту.

Описанный выше процесс позволял отбрасывать большое число зарегистрированных событий, в которых частица проходила через спектрометр без взаимодействия. Но все же в некоторых таких событиях генерированные треки имитировали упругое рассеяние в основном на углы, близкие к Θ_{min} . Поскольку в дальнейшем ни кинематическими, ни геометрическими ограничениями нельзя полностью отбросить такие ложные события, то для изучения упругого рассеяния на малые углы отмечались события, в которых программа находила только один трек в каждой проекции блоков I и II. Число таких событий составляло более 50% от всех событий.

Треки, непроявлявшие взаимодействия частиц использовались для корректировки сдвигов координат камер относительно друг друга в каждом блоке независимо. Смещения систем координат блока I и блока II относительно блока II корректировались минимизацией угловых отклонений и координатных отклонений треков в центрах мишени и магнита. Угловое отклонение системы координат блока II в X плоскости определялось в специальных измерениях, проводимых с выключенным магнитом.

3. Отбор событий упругого рассеяния

Данные со вторичной ленты использовались программой "SUMX" для вычисления геометрических и кинематических величин, построения гистограмм распределения этих величин и выделения с помощью этих величин событий упругого рассеяния.

Угол рассеяния θ определялся по параметрам треков блоков I и II. Импульс рассеянного пиона P_π вычислялся по углу отклонения частицы в магнитном поле. Первичный импульс пиона P_{inc} восстанавливался по углу рассеяния θ и импульсу P_π путём использования кинематики упругого рассеяния пиона на протоне. Квадрат переданного четырехимпульса t вычислялся затем по формуле

$$t = -m_\pi^2 - 2 \cdot (E_{\text{inc}} \cdot E_\pi - P_{\text{inc}} \cdot P_\pi \cdot \cos \theta),$$

где E_{inc} и E_π - энергии первичного и вторичного пиона, а m_π - масса пиона.

Помимо точки взаимодействия Z_{int} , программа вычисляла координаты треков в плоскостях счётчиков S_π , A5, последней пары пропорциональных камер Р.С. и декодировала информацию со счётчиков и аналогового решающего устройства.

Логики запуска искровых камер для событий, в которых частица прошла внутри рабочей области последней пары пропорциональных камер и вне её, отличались /I/. Это вызвало необходимость раздельной обработки событий с малыми $-t$, описываемой здесь, и с большими $-t$, результаты которой представлены в работе /I/.

Точность определения Z_{int} не позволяла надежно разделить события рассеяния на водороде мишени и фоновые события рассеяния вне его. Гистограмма распределения событий по Z_{int} (см. рис. 2)

использовалась для определения области, в которой не только мал вклад от фоновых событий, но и невелики потери событий рассеяния на водороде.

Сравнительно широкий пик (полуширина на полувысоте $\pm 0,8\%$) распределения событий по P_{inc} (см.рис.3) обусловлен был как импульсной дисперсией пучка, так и импульсным разрешением спектрометра $\pm 0,5\%$. Расширение области P_{inc} для увеличения доли первичных пионов, имеющих импульсы в пределах этой области, ограничивалось с другой стороны возрастанием вклада от неупругих взаимодействий.

Гистограммы распределений по t строились для событий, удовлетворяющих следующим условиям:

1. Первичный импульс P_{inc} должен быть в пределах $\pm 2\%$ от среднего импульса пучка P_0 .
2. Вершина рассеяния Z_{int} не должна находиться далее 45 см от краев области мишени, заполненной водородом.

3. Траектория частицы должна проходить внутри рабочей области ($12 \times 12 \text{ см}^2$) последней пары пропорциональных камер.

4. Не должно быть сигналов с μ^- -мезонных счётчиков S_μ .

Кроме того, для исключения ложных событий, созданных программой "TRACKFINDING" с помощью генерированных треков, отбирались события, в которых в каждой плоскости было восстановлено только по одному треку.

4. Заключение

Описанные программы позволяли успешно выделять события упругого Π^- -рассеяния, составляющие только $\sim 1,5\%$ от всех зарегистрированных спектрометром событий. Всего было отобрано ~ 5000 и ~ 8000 событий при энергиях 40 и 50 ГэВ соответственно.

Авторы считают своим долгом поблагодарить дирекцию ИФВЭ за предоставленную возможность работы на ЭВМ ICL-1906 и дирекцию ЛВЭ ОИЯИ за постоянное внимание и поддержку.

Мы также благодарны К.Вала, А.Либерману, В.Л.Соловьеву за помощь на отдельных этапах данной работы и В.Гаевскому и Б.Ничипоруку за полезные обсуждения.

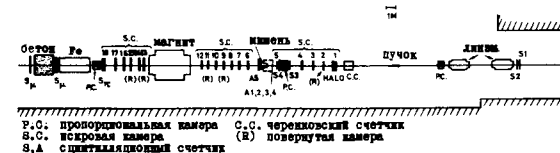


Рис.1. Схема расположения экспериментальной установки.

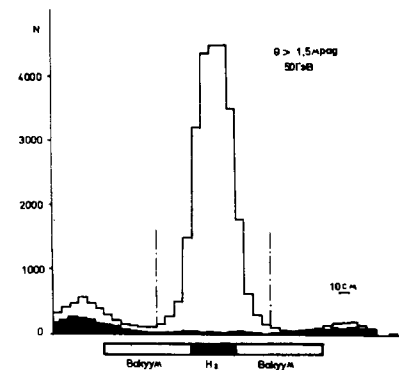


Рис.2. Распределения событий (ненормированные) в зависимости от координаты рассеяния Z в области мишени.
□ — полная мишень, ■ — пустая мишень. Штрих-пунктирными линиями обозначены границы "обрезания".

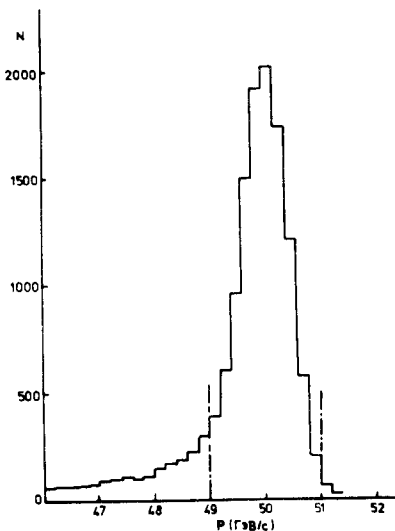


Рис.3. Распределение событий по восстановленному первичному импульсу P_{inc} . Штрих-пунктирными линиями обозначены границы "обрезания".

Литература

1. G.T.Adylov et al. JINR,E1-7934,Dubna,1974 .
2. Z.Guzik et al. JINR,E13-6194,Dubna,1971.
3. Г.Т.Адылов и др. Сообщение ОИЯИ, I-80II, Дубна, 1974.
- Г.Т.Адылов и др. Сообщение ОИЯИ, I-80I2, Дубна, 1974.
4. A.A.Derevchekov et al. Phys. Lett., 48B,367,1974.

Рукопись поступила в издательский отдел
6 сентября 1974 г.